

Fig. 1

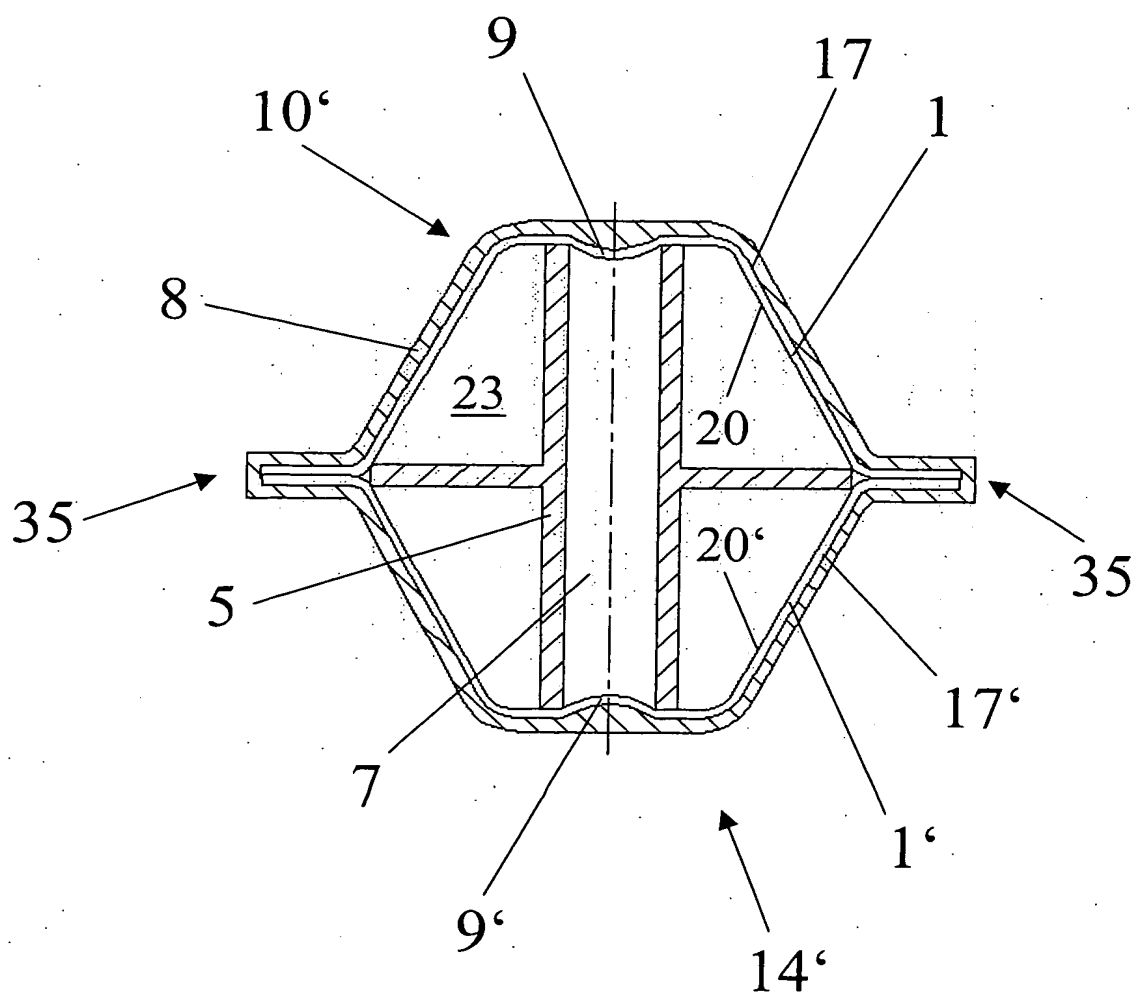


Fig. 2

P08020/LeA 3L, 557
Ulrich Dojek et al

Figure 3

